

4. SDP部・非改良部の圧密係数と圧密度の深度分布
 前述の通り、沈下量では理論値との大きな差は無かった。次に、沈下の経時変化から得られた圧密係数と圧密度の評価結果について述べる。

SDP部における事前設計では、図-5²⁾に示すChの低減を留意し、事前の土質試験結果の $C_v=100\text{cm}^2/\text{day}$ に対して $50\text{cm}^2/\text{day}$ で設定し、沈下や粘性土の強度増加を見込んでいた。図-6のフィッティング結果をみても分かる通り、 C_v の逆解析結果は $50\text{cm}^2/\text{day}$ 程度($U=70\sim 90\%$)で、図-5とよく整合した結果となっている。一方、非改良部では図-6から分かるように、事前設定であった土質試験結果 $C_v=150\text{cm}^2/\text{day}$ の2倍の逆解析結果を得た。

また、図-7は、三成分コーン貫入試験(CPT)で確認した間隙水圧分布から圧密度 U_v の深度分布を評価したものである。SDP部では、深度方向にほぼ一定に分布しており深度方向の遅れはみられない。一方、非改良部では層中央に圧密の遅れが見られ、圧密理論による等時圧密曲線とよく一致する。

5. 結論

以上の結果から得た結論を以下に整理する。

- ①低置換率SCP改良($a_s=27\%$)地盤における実際の沈下低減係数 β は、応力分担比 $n=3$ とした一般的な設計法による $\beta=0.65$ と概ねあっている。
- ②SDP改良部における実効Chの低減効果は、綱干が提案した図-5の関係を満たすものであった。
- ③無処理部における実効 C_v は、圧密試験より得られた C_v の約2倍であった。

【参考文献】

- 1) 社団法人 日本港湾協会；港湾の施設の技術上の基準・同解説, pp. 463, 1989
- 2) 綱干他；サンドレーン打設による圧密係数の変化, 第19回土質工学研究発表会, 1982

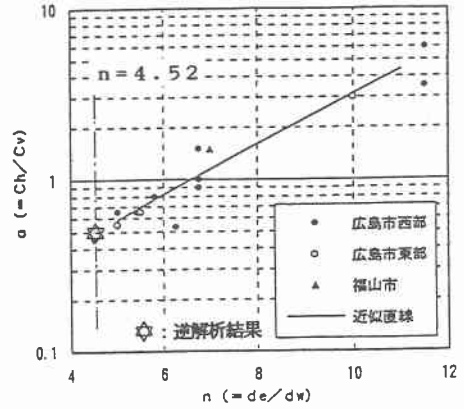


図-5 SDP改良地盤のChの低減

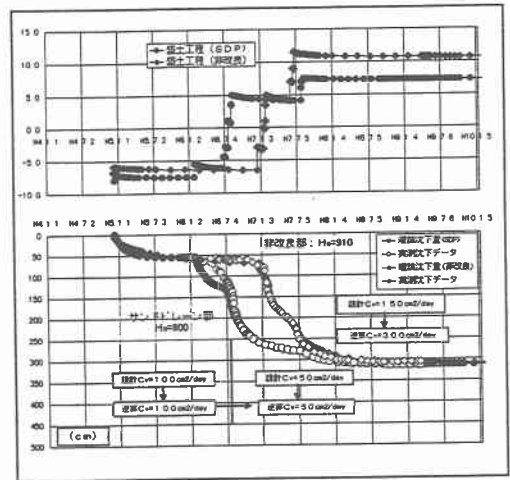


図-6 フィッティング結果

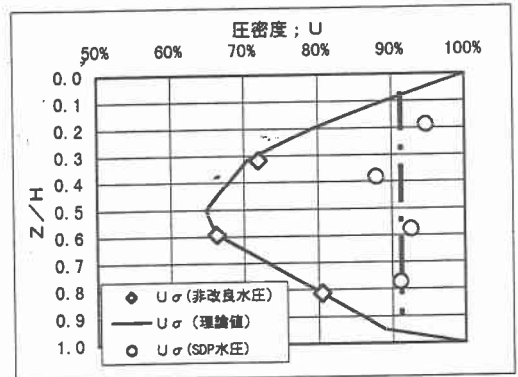


図-7 圧密度の深度分布